

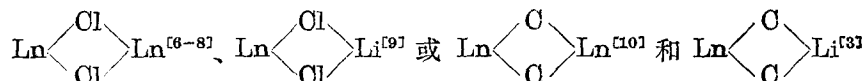
## 稀土-锂双金属配合物的研究

### —(LaCl)DME( $\mu_2$ -Cl)<sub>5</sub>( $\mu_3$ -Cl)(La·DME)Li(THF)<sub>2</sub> 的合成及其晶体结构

李祥高 刘静芝\* 胡宁海 金钟声 刘国智\*\*

(中国科学院长春应用化学研究所, 长春)

在稀土有机化学中, [Cp<sub>2</sub>LnCl]<sub>2</sub><sup>[1]</sup> 和 [Cp<sub>2</sub>LnCl<sub>2</sub>LiL<sub>2</sub>]<sup>[2]</sup> [Cp 为取代或未取代的环戊二烯基, Ln 为稀土离子(III), L 为 Lewis 碱] 型化合物是重要的中间物. 对含锂烷基<sup>[3]</sup>、芳基<sup>[4]</sup> 或烯丙基<sup>[5]</sup> 稀土化合物的研究也有着重要的意义. 这类分子中含有



型桥键结构. 由于这类化合物难于结晶及其不稳定性, 故很难进行系统的研究.

Rossmannith<sup>[11]</sup> 首先发现了 NdCl<sub>3</sub>-LiCl-THF 溶液的存在. 李毅<sup>[12]</sup> 用这一溶液很方便地合成了几个轻稀土-锂双金属有机化合物. 但是, 在稀土配位化学中, 对氯化稀土-氯化锂配合物的研究还很少, 对 LnCl<sub>3</sub>-LiCl-THF 溶液的认识也有待深化. 本文合成了组成为 (LaCl)DME( $\mu_2$ -Cl)<sub>5</sub>( $\mu_3$ -Cl)(La·DME)Li(THF)<sub>2</sub> 的新型桥式链状配合物, 并测定了晶体结构. 这种类型的稀土双金属配合物尚未见报道.

## 实 验

锂由英国产 S-P1900 型原子吸收光谱仪测定. 碳、氢用鹤壁市产 TQ-1 型元素分析仪测定. 晶体的衍射强度数据在 Nicolet R3m/E 四圆衍射仪上收集. 全部计算工作在 Eclipse S/140 型计算机上完成. 镧用 EDTA 配位滴定法测定, 氯用 Volhard 容量法测定.

THF(四氢呋喃)、DME(乙二醇二甲醚)和己烷均先以 NaOH 干燥, 然后在有二苯甲酮存在下用金属钠回流呈紫红色后蒸出. 所有实验操作均在水无氧的氮气氛下进行.

**无水 LaCl<sub>3</sub> 的制备** 将 La<sub>2</sub>O<sub>3</sub> 与浓盐酸反应, 结晶成 LaCl<sub>3</sub>·6H<sub>2</sub>O, 减压(10<sup>-2</sup> Torr)下缓慢升温 90—95°C 脱水至 LaCl<sub>3</sub>·H<sub>2</sub>O, 再升温至 150—160°C 脱水 3 h. 得到无水 LaCl<sub>3</sub>. 用 TG 跟踪脱水效果, 产率 95%.

**(LaCl)DME( $\mu_2$ -Cl)<sub>5</sub>( $\mu_3$ -Cl)(La·DME)Li(THF)<sub>2</sub> 的合成** 将 3.95 g(16.1 mmol) 无水氯化镧和 2.06 g(48.6 mmol) 无水氯化锂置于反应瓶中, 加入 40 mL THF, 室温搅拌 24 h, 离心分离得到淡黄色溶液. 溶液中 La<sup>3+</sup> = 0.3886 M, La:Cl = 1:5.9. 取该溶液 5 mL, 逐滴加入己烷 5 mL, 静置, 分去上层清液, 下层油状物减压抽干后再用 5 mL THF 溶解, 用己烷和 DME 作沉淀配合剂, 于 -10°C 长时间放置得到淡黄色粒状晶体, 产率约 20%, 无熔点, C<sub>16</sub>H<sub>36</sub>Cl<sub>7</sub>O<sub>6</sub>La<sub>2</sub>Li(计算值: C, 22.39; H, 4.20; Cl, 28.98; La, 32.42; Li, 0.80. 实测值: C,



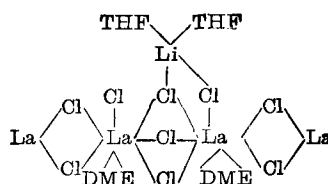


表 1 (LaCl)DME( $\mu_2$ -Cl)<sub>5</sub>( $\mu_3$ -Cl)(La·DME)Li(THF)<sub>2</sub> 中的非氢原子坐标 ( $\times 10^4$ ) 和各向同性热参数 ( $\text{\AA}^2 \times 10^3$ )

原子	x	y	z	U	原子	x	y	z	U
La(1)	986(1)	1092(1)	164(1)	14(1)	C(21)	-4114(4)	2753(3)	2760(5)	34(1)
La(2)	-51(1)	3646(1)	-1068(1)	16(1)	C(22)	-5376(4)	3120(3)	3361(5)	38(1)
Cl(1)	-905(1)	2672(1)	1092(1)	19(1)	C(23)	-5466(6)	4053(3)	3509(7)	61(2)
Cl(2)	29(1)	2035(1)	-2537(1)	21(1)	C(24)	-4684(5)	4163(3)	2233(7)	52(2)
Cl(3)	2014(1)	2507(1)	444(1)	24(1)	O(31)	2913(2)	743(2)	2212(3)	22(1)
Cl(4)	1278(1)	-642(1)	848(1)	21(1)	O(32)	544(2)	1130(2)	3067(3)	20(1)
Cl(5)	2706(1)	261(1)	-1876(1)	26(1)	C(31)	2691(4)	979(2)	3818(4)	29(1)
Cl(6)	-2677(1)	4139(1)	-1365(1)	28(1)	C(32)	1543(3)	734(2)	4151(4)	26(1)
Cl(7)	404(1)	4601(1)	1739(1)	28(1)	C(33)	4150(4)	758(3)	1892(5)	32(1)
Li	-2981(7)	3046(4)	-45(8)	33(2)	C(34)	-624(4)	992(3)	3429(4)	27(1)
O(1)	-3845(3)	2392(2)	-1458(3)	31(1)	O(41)	-400(3)	3764(2)	-4108(3)	30(1)
C(11)	-3479(4)	2146(3)	-3032(5)	34(1)	O(42)	1855(3)	3706(2)	-2505(3)	32(1)
C(12)	-4162(4)	1481(3)	-3647(5)	37(1)	C(41)	710(5)	3443(2)	-4886(4)	33(1)
C(13)	-5298(4)	1699(3)	-2721(5)	38(1)	C(42)	1673(4)	3879(3)	-4111(5)	43(2)
C(14)	-4740(4)	1943(3)	-1131(5)	36(1)	C(43)	-1459(5)	3591(3)	-5024(5)	42(2)
O(2)	-3982(3)	3351(2)	1729(4)	40(1)	C(44)	2794(4)	4074(3)	-1673(6)	46(2)

表 2 (LaCl)DME( $\mu_2$ -Cl)<sub>5</sub>( $\mu_3$ -Cl)(La·DME)·Li(THF)<sub>2</sub> 中的主要键长 ( $\text{\AA}$ )

La(1)—Cl(1)	2.994(1)	La(1)—Cl(2)	2.921(1)
La(1)—Cl(3)	2.911(1)	La(1)—Cl(4)	2.912(1)
La(1)—Cl(5)	2.741(1)	La(1)—O(31)	2.618(2)
La(1)—O(32)	2.599(2)	La(1)—Cl(4a)	2.846(1)
La(2)—Cl(1)	2.950(1)	La(2)—Cl(2)	2.850(1)
La(2)—Cl(3)	2.908(1)	La(2)—Cl(6)	2.811(1)
La(2)—Cl(7)	2.855(1)	La(2)—O(41)	2.638(2)
La(2)—O(42)	2.589(3)	La(2)—Cl(7a)	2.929(1)
Cl(1)—Li	2.365(7)	Cl(4)—La(1a)	2.846(1)
Cl(6)—Li	2.338(8)	Cl(7)—La(2a)	2.929(1)
Li—O(1)	1.916(8)	Li—O(2)	1.937(8)
O(1)—C(11)	1.452(5)	O(1)—C(14)	1.451(6)
C(11)—C(12)	1.526(7)	C(12)—C(13)	1.508(7)
C(13)—C(14)	1.518(6)	O(2)—C(21)	1.436(6)
O(2)—C(24)	1.421(5)	C(21)—C(22)	1.498(6)
C(22)—C(23)	1.516(7)	O(23)—C(24)	1.523(9)
O(31)—C(31)	1.437(4)	O(31)—C(33)	1.437(5)
O(32)—C(32)	1.437(4)	O(32)—C(34)	1.445(5)
C(31)—C(32)	1.498(6)	O(41)—C(41)	1.419(5)
O(41)—C(43)	1.433(6)	O(43)—C(42)	1.428(5)
O(42)—C(44)	1.446(6)	C(41)—C(42)	1.515(7)

计算表明,端氯原子至稀土原子距离为 2.741 Å,  $\mu_2$ -氯原子至稀土原子的距离为 2.811—2.921 Å,  $\mu_3$ -氯原子至稀土原子的距离为 2.950—2.994 Å, 这里  $\mu_2$ -氯至稀土原子距离受空间位阻及对位效应等影响,有着比较大的分布范围. 应该指出的是 Cl(1) 提供电子对, 同时与 La(1)、La(2) 和 Li 形成一个  $\mu_3$ -氯桥键, 使得 La—Cl 键长大大增加(2.972 Å). La—O 平均键长为 2.611 Å, Li—O 平均键长为 1.927 Å. 表 1 给出了非氢原子的坐标参数和各向同性热参数, 各成键原子间的键长和主要键角分别列入表 2 和表 3. 显然, THF 上氧与金属原子配位表现出有较大的位阻, 特别是高配位时更是如此, 因此这里稀土原子是与一个 DME 分子上的两个氧原子配位, 而不是与两个 THF 分子配位.

表 3 主要键角值(°)

La(1)—Cl(1)—La(2)	92.2(1)	La(1)—Cl(2)—La(2)	95.9(1)
La(1)—Cl(3)—La(2)	94.8(1)	La(1)—Cl(4)—La(1a)	108.6(1)
La(2)—Cl(7)—La(2a)	109.4(1)	La(2)—Cl(1)—Li	92.2(2)
La(2)—Cl(6)—Li	96.4(2)	O(1)—Li—O(2)	104.8(4)
O(31)—La(1)—O(32)	62.4(1)	O(41)—La(2)—O(42)	62.9(1)

三重氯桥键中 La(1)—Cl—La(2) 的平均键角(94.3°)明显地小于双重氯桥键中 La(1)—Cl—La(1a)的平均键角(109.0°). 另外, La(1) 和 La(2) 与 DME 中的两个氧原子构成的键角几乎是相等的.

表 4 给出了分子中构成的氯桥平面间的几何关系. 在本结构中构成双重  $\mu_2$ -氯桥的 La(1)La(1a)Cl(4)Cl(4a) 及 La(2)Cl(7)Cl(7a)La(2a) 均各自严格地处于一个平面内, 而构成镧与锂之间的氯桥四个原子则否.

表 4 (LaCl)DME( $\mu_2$ -Cl)<sub>5</sub>( $\mu_3$ -Cl)(La·DME)Li·(THF)<sub>2</sub> 中氯桥平面间的几何关系

平 面	平面方程及其组成原子	平面法线间的夹角(°)					
		1	2	3	4	5	6
1	-4.008x+2.433y+7.822z=0.0000 La(1) La(1a) Cl(4) Cl(4a) 0.00* 0.00* 0.00* 0.00*						
2	7.468x+5.696y+5.522z=1.4488 La(1) La(2) Cl(1)	63.3					
3	10.812x+3.085y-2.701z=1.3583 La(1) La(2) Cl(2)	124.7	61.4				
4	-4.451x+1.968y+7.822z=-0.0955 La(1) La(2) Cl(3)	2.6	65.8	127.1			
5	-0.653x+11.952y+5.131z=3.8124 La(2) Li Cl(1)	37.8	56.2	104.8	39.6		
6	0.763x+8.320y+7.061z=2.2749 La(2) Li Cl(6)	28.9	41.0	99.3	31.4	21.0	
7	10.603x-0.324y-1.067z=0.0000 La(2) La(2a) Cl(7) Cl(7a)	120.9	59.3	13.6	123.1	110.0	99.9

\* 原子偏离平面的偏差. \*\* x, y, z 为原子坐标.

轻稀土的 $(\eta^5\text{-C}_5\text{H}_5)_2\text{LnCl}_2$ 和 $(\eta^5\text{-C}_5\text{H}_5)_2\text{LnCl}$ 型化合物由于配位不饱和性而难于合成,因此常选择大配体来稳定化合物.文献[12]利用 $\text{LnCl-LiCl-THF}$ 溶液很方便地合成了 $[\text{Li}(\text{THF})_2]_2(\mu\text{-Cl})_4(\eta^5\text{-C}_5\text{H}_5)_2\text{Ln}\cdot\text{THF}$ ( $\text{Ln}=\text{La, Nd}$ )等化合物.本工作表明在该原料液中

首先生成了 $\text{Ln} \begin{array}{c} \diagup \text{Cl} \\ \diagdown \text{Cl} \end{array} \text{Li}$ 和 $\text{Ln} \begin{array}{c} \diagup \text{Cl} \\ \diagdown \text{Cl} \end{array} \text{Ln}$ 桥键,这种键在进行与有机配体的交换反应时起到了稳定作用.

## 参 考 文 献

- [1] Maginn, R. E.; Manastyrskyj, S.; Dubeck, M., *J. Am. Chem. Soc.*, **1963**, *85*, 672.
- [2] Atwood, J. L.; Hunter, W. E.; Rogers, R. D.; Holton, J.; McMeeking, J.; Pearce, R.; Lappert, M. F., *J. Chem. Soc., Chem. Commun.*, **1978**, 140.
- [3] Schumann, H.; Müller, J.; Bruncks, N.; Lauke, H.; Pickardt, J.; Schwarz, H.; Eckart, K., *Organometal.*, **1984**, *3*, 69.
- [4] Hart, F. A.; Massey, A. G.; Saran, M. S., *J. Organometal. Chem.*, **1970**, *21*, 147.
- [5] Mazzei, A., "Organometallics of the f-Elements", ed. by Marks, T. J., Fischer, R. D., Dordrecht, Holland, **1979**, p. 379.
- [6] Baker E. C.; Brown, L. D.; Raymond, K. N., *Inorg. Chem.*, **1975**, *14*, 1376.
- [7] Lappert, M. F.; Singh, A.; Atwood, J. L.; Hunter, W. E., *J. Chem. Soc., Chem. Commun.*, **1981**, 1190.
- [8] 金钟声,刘永盛,陈文启,中国科学(B辑),**1987**, 1.
- [9] Wayda, A. L.; Evans, W. J., *Inorg. Chem.*, **1980**, *19*, 2190.
- [10] Atwood, J. L.; Hunter, W. E.; Wayda, A. L.; Evans, W. J., *Inorg. Chem.*, **1981**, *20*, 4115.
- [11] Rossmannith, K., *Monatshfte für Chem.* **73**, *110*, 1019.
- [12] 李毅, 硕士论文,中国科学院长春应用化学研究所,长春,**1986**.

## Study of Bimetallic Complexes of Rare Earth-Lithium

### Synthesis and Crystal Structure of the (LaCl)DME( $\mu_2$ -Cl)<sub>5</sub>( $\mu_3$ -Cl)(La·DME)Li(THF)<sub>2</sub>

Li Xiang-Gao Liu Jing-Zhi\* Hu Ning-Hai Jin Zhong-Sheng Liu Guo-Zhi

(Changchun Institute of Applied Chemistry, Academia Sinica, Changchun)

#### Abstract

The reaction between LaCl<sub>3</sub> and LiCl in THF at room temperature, with hexane as precipitant and glycol dimethyl ether as complexing agent, has been studied. A complex with the composition of (LaCl)DME( $\mu_2$ -Cl)<sub>5</sub>( $\mu_3$ -Cl)(La·DME)Li(THF)<sub>2</sub> has been synthesized, its structure was studied by single crystal X-ray diffraction technique. The diffraction intensities were collected at about -100°C. The complex belongs to the triclinic space group  $P\bar{1}$  with  $a=11.123(3)$ ,  $b=16.564(5)$ ,  $c=8.653(3)$  Å;  $\alpha=95.16(3)$ ,  $\beta=95.63(3)$ ,  $\gamma=74.71(2)^\circ$ ;  $Z=2$ . The final  $R$  value is 0.0303. The molecule presumes to have a chain conformation in which the La<sup>3+</sup> ions are linked by  $\mu_2$ - and  $\mu_3$ -bridged chlorine atoms alternatively. The average bond lengths of La—Cl in  $\mu_3$ -chloro-bridge bond and  $\mu_2$ -chloro-bridge bond are 2.972 and 2.886 Å respectively. The average bond lengths of La—O and Li—O are 2.611 and 1.927 Å respectively.